

# 肼在金属表面上分解机理的理论研究

张俊, 谢励, 夏文生, 万惠霖

(厦门大学化学化工学院化学系, 固体表面物理化学国家重点实验室, 厦门 361005)

**摘要** 键指数归一二次指数势 (Unity Bond Index-Quadratic Exponential Potential, UB IQEP) 法被用于研究肼在 Fe, Ru, Pt 和 Cu 表面上的分解机理。研究结果表明, 肼在金属上优先发生 N—N 键断裂, 金属活性顺序是 Ru ~ Fe > Pt > Cu, 但不同金属上呈现出不同的产物选择性。在 Fe, Ru 上产物主要为 N<sub>2</sub> 和 H<sub>2</sub>, 其通过 N<sub>2</sub>H<sub>4</sub> 物种形成的可能性较低, 金属活性顺序为 Ru > Fe; 而在 Cu, Pt 上最终产物为 NH<sub>3</sub>, N<sub>2</sub> 和 H<sub>2</sub>, 其中 H<sub>2</sub> 和 N<sub>2</sub> 的形成可能部分源于中间体物种 N<sub>2</sub>H 的转化, 金属的活性顺序为 Pt > Cu。

**关键词** 键指数归一二次指数势; N<sub>2</sub>H<sub>4</sub> 分解; 机理; 金属表面

中图分类号 O641

文献标识码 A

文章编号 0251-0790(2008)10-2035-05

最近, Barney 等<sup>[1]</sup>采用谱学方法对固氮酶还原 N<sub>2</sub> 中是否涉及 N<sub>x</sub>H<sub>y</sub> 物种进行了研究, 而 Mebel 等<sup>[2]</sup>的密度泛函理论研究结果则表明, BeO, FeO 上由 N<sub>2</sub> 合成氨须经中间体 (N<sub>2</sub>H<sub>2</sub> 和 N<sub>2</sub>H<sub>4</sub>)。这说明肼与氨合成具有密切的联系, 肼的转化可视为联系化学和生物固氮合成氨的一个重要环节。因此, 对肼转化的研究将有助于对合成氨反应机理的深入理解。

肼在金属上的转化因金属和温度等条件不同而呈现出不同的产物 (H<sub>2</sub>, N<sub>2</sub> 和 NH<sub>3</sub> 等) 选择性<sup>[3]</sup>, 其主要分解途径<sup>[4]</sup>有以下 3 种: N<sub>2</sub>H<sub>4</sub> → NH<sub>2</sub> + N → N<sub>2</sub>, N<sub>2</sub>H<sub>4</sub> → NH<sub>2</sub> + NH<sub>3</sub> 和 N<sub>2</sub>H<sub>4</sub> → N<sub>2</sub>H<sub>y</sub> (y = 0 ~ 3)。

本文拟通过计算和比较各相关基元反应的活化能、反应热, 对肼在 Fe, Ru, Pt 和 Cu 上的分解机理从能量学角度进行研究, 并比较了反应中各金属的反应活性和选择性。

## 1 计算方法

键指数归一二次指数势 (UB IQEP) 法<sup>[5]</sup>是一种采用原子吸附热和物种气相键能实验值作为参数计算金属上各物种化学吸附热和可能的基元反应活化能的能学计算法, 其误差约为 ±4 kJ/mol。对于物种气相键能, 采用量子化学的 G2<sup>[6]</sup>方法得到的计算值与实验值非常接近。

## 2 结果与讨论

### 2.1 N<sub>2</sub>H<sub>4</sub> 中 N—H, N—N 键裂比较

表 1 列出了 Fe(100), Pt(111), Ru(111) 及 Cu(111) 密堆积面上的原子吸附热实验值和各物种气相键能及吸附热计算值。表 2 列出了金属上肼转化所涉基元反应的正 (+)、逆 (-) 方向活化能计算值。反应势能面见图 1。

由表 2 中反应 1 和 2 可见, 肼的分解方式涉及 N—H, N—N 键裂, 即 N<sub>2</sub>H<sub>4</sub> → N<sub>2</sub>H<sub>3</sub> + H 和 N<sub>2</sub>H<sub>4</sub> → NH<sub>2</sub> + NH<sub>2</sub>。N—H 键裂活化能在 Ru, Fe, Pt 和 Cu 上依次为 66.75, 69.35, 66.92, 88.11 kJ/mol, 而反应焓为 52.58, 55.51, 66.92, 88.11 kJ/mol; N—N 键裂活化能分别为 0.00, 0.00, 23.49, 25.00 kJ/mol, 反应焓为 -136.77, -155.41, -51.04, -46.65 kJ/mol, 基本呈逐步增大的趋势。

→ 收稿日期: 2008-04-29

基金项目: 国家“九七三”计划 (批准号: 2005CB221408)、国家自然科学基金 (批准号: 20373054, 20433030) 及国家基础科学人才培养基金 (批准号: J0630429)资助。

联系人简介: 夏文生, 男, 博士, 教授, 主要从事催化和理论化学研究。Email: wsx@xmu.edu.cn

万惠霖, 男, 教授, 博士生导师, 中国科学院院士, 主要从事催化化学研究。Email: hwan@xmu.edu.cn

N—N键裂活化能明显比 N—H键裂的活化能小，因此，可认为，肼在金属上 N—N键裂比 N—H键裂有利，其顺序为 Ru ~ Fe > Pt > Cu

**Table 1 Gas bond energies D and chemisorption heats Q of species on the close-packed Fe(100), Pt(111), Ru(111) and Cu(111) surfaces(kJ/mol)**

Species	D		Coord type	Q		
	G2 <sup>[6]</sup>	Exp. <sup>[7]</sup>		Fe(100)	Pt(111)	Ru(111)
N <sup>[5]</sup>	—	—	<sup>1</sup> μ <sub>3</sub>	581.02	484.88	564.30
H <sup>[5]</sup>	—	—	<sup>1</sup> μ <sub>3</sub>	259.16	254.98	263.34
H—H	437.40	435.56	<sup>1</sup> μ <sub>3</sub>	27.42	26.63	28.26
N—N	936.86	944.43	<sup>2</sup> μ <sub>2</sub>	94.55	68.93	89.87
H—NH	2448.56	449.77	<sup>1</sup> μ <sub>1</sub>	80.38	58.19	76.33
H—N	327.04	327.71	<sup>1</sup> μ <sub>3</sub>	371.77	289.59	357.26
H—NH	387.61	—	<sup>1</sup> μ <sub>3</sub>	260.54	196.00	248.96
N—NH	573.58	579.35	<sup>1</sup> μ <sub>3</sub>	292.39	222.13	279.85
HN—NH	518.36	517.48	<sup>1</sup> μ <sub>1</sub>	101.78	74.49	96.81
HN—NH <sub>2</sub>	316.09	299.29	<sup>1</sup> μ <sub>3</sub>	122.52	90.62	116.75
H <sub>2</sub> N—NH <sub>2</sub>	274.88	273.96	<sup>1</sup> μ <sub>1</sub>	90.83	66.09	86.32
N—NH <sub>2</sub>	277.43	—	<sup>1</sup> μ <sub>3</sub>	194.12	148.89	186.09
						147.01

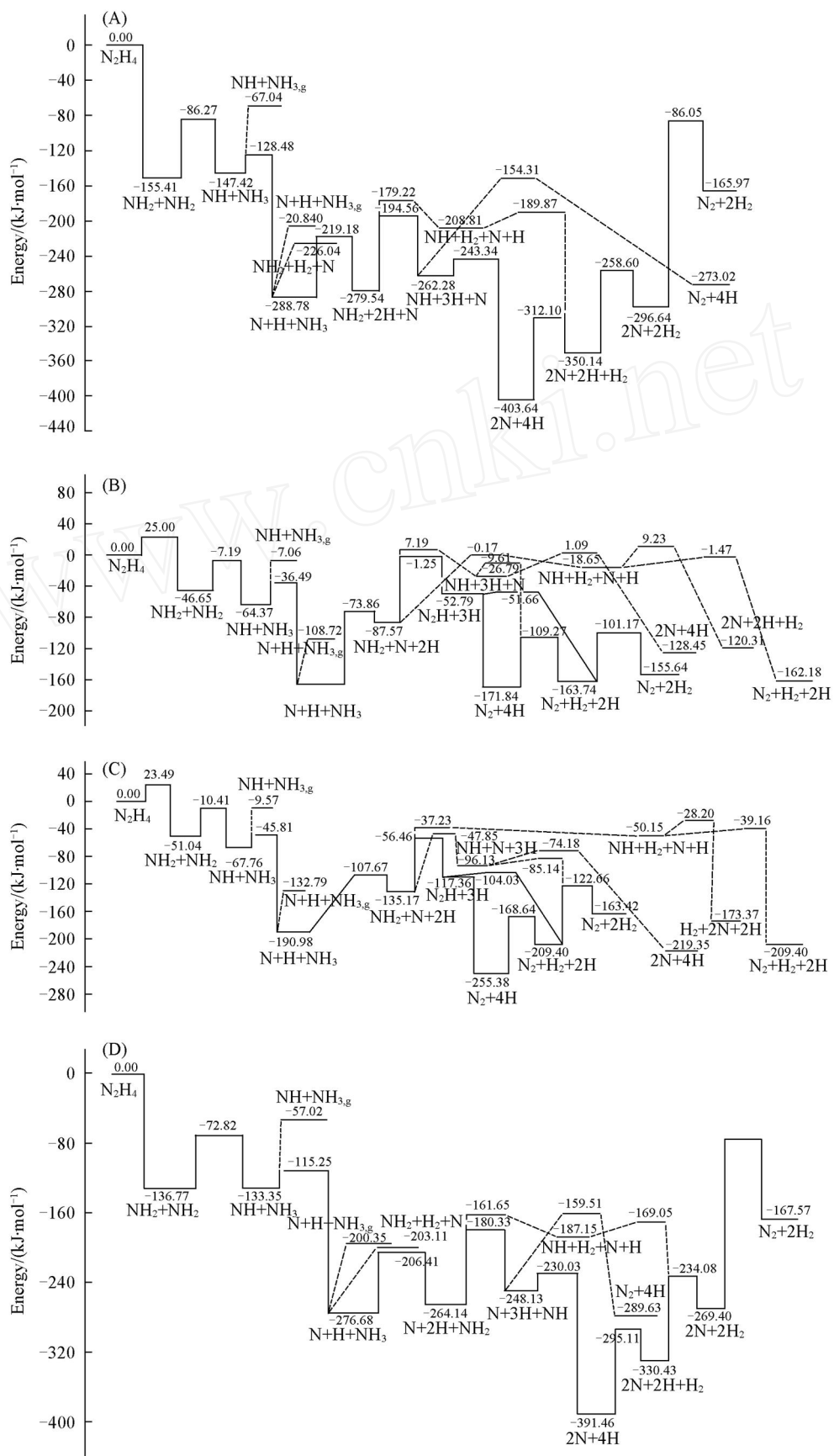
**Table 2 Activation barriers of forward( E<sub>+</sub><sup>\*</sup>) and reversed( E<sub>-</sub><sup>\*</sup>) directions for the involved elementary reactions upon N<sub>2</sub>H<sub>4</sub> decomposition on the close-packed Fe, Pt, Ru and Cu surfaces and reaction enthalpies H (kJ/mol)**

No	Reaction	Fe(100)			Pt(111)			Ru(111)			Cu(111)		
		H	E <sub>+</sub> <sup>*</sup>	E <sub>-</sub> <sup>*</sup>	H	E <sub>+</sub> <sup>*</sup>	E <sub>-</sub> <sup>*</sup>	H	E <sub>+</sub> <sup>*</sup>	E <sub>-</sub> <sup>*</sup>	H	E <sub>+</sub> <sup>*</sup>	E <sub>-</sub> <sup>*</sup>
1	N <sub>2</sub> H <sub>4</sub> N <sub>2</sub> H <sub>3</sub> + H	55.51	69.35	13.84	66.92	66.92	0.00	52.58	66.75	14.17	88.11	88.11	0.00
2	N <sub>2</sub> H <sub>4</sub> NH <sub>2</sub> + NH <sub>2</sub>	- 155.41	0.00	155.41	- 51.04	23.49	74.53	- 136.77	0.00	136.77	- 46.65	25.00	71.65
3	NH <sub>2</sub> NH + H	17.26	84.98	67.72	39.04	87.32	48.28	16.01	83.81	67.80	60.78	94.76	33.98
4	NH <sub>2</sub> + NH <sub>2</sub> NH + NH <sub>3</sub>	7.99	69.14	61.15	- 16.72	40.63	57.35	3.43	63.95	60.53	- 17.72	39.46	57.18
5	NH <sub>2</sub> + NH <sub>2</sub> N <sub>2</sub> H <sub>3</sub> + H	210.92	210.92	0.00	117.92	117.92	0.00	189.35	189.35	0.00	134.76	134.76	0.00
6	NH NH + H	- 141.36	18.94	160.30	- 123.22	21.95	145.17	- 143.33	218.10	161.43	- 101.66	27.88	129.54
7	NH <sub>3</sub> NH <sub>2</sub> + H	9.24	69.60	60.36	55.80	83.31	27.50	12.54	70.27	57.73	78.46	92.17	13.71
8	NH + NH <sub>3</sub> N <sub>2</sub> H <sub>3</sub> + H	202.90	202.90	0.00	134.64	134.64	0.00	185.93	185.93	0.00	152.44	152.45	0.00
9	N + NH <sub>3</sub> NH + NH <sub>2</sub>	150.60	151.90	1.30	179.03	179.03	0.00	155.91	155.91	0.00	180.12	180.12	0.00
10	N + NH <sub>3</sub> N NH <sub>2</sub> + H	180.12	180.12	0.00	150.81	150.81	0.00	170.13	170.13	0.00	170.25	170.25	0.00
11	H + NH <sub>3</sub> H <sub>2</sub> + NH <sub>2</sub>	62.74	62.74	0.00	101.74	101.74	0.00	73.57	73.57	0.00	86.61	86.61	0.00
12	N + NH <sub>2</sub> NH + NH	158.63	172.26	13.63	162.31	162.31	0.00	159.34	169.00	9.66	162.43	162.44	0.00
13	N + NH <sub>2</sub> N <sub>2</sub> H + H	104.04	141.95	37.91	17.81	78.71	60.90	84.14	128.45	44.31	34.78	86.32	51.54
14	N + NH <sub>2</sub> N NH <sub>2</sub>	170.88	175.39	4.51	95.01	117.29	22.28	157.54	165.15	7.61	91.79	114.83	23.03
15	H + NH <sub>2</sub> NH + H <sub>2</sub>	70.73	100.32	29.59	85.02	97.94	12.92	77.00	102.49	25.50	68.93	87.40	18.48
16	N <sub>2</sub> H + H H <sub>2</sub> + N <sub>2</sub>	- 44.10	46.65	90.75	- 92.04	13.33	105.38	- 48.49	43.56	92.13	- 110.94	1.13	112.07
17	N <sub>2</sub> H + H NH + NH	54.55	120.22	65.67	144.50	144.63	0.13	75.20	126.91	51.71	127.66	135.35	7.69
18	N <sub>2</sub> H + H N <sub>2</sub> H <sub>2</sub>	177.94	177.94	0.00	130.79	130.79	0.00	174.56	174.56	0.00	108.05	110.65	2.55
19	N <sub>2</sub> H N + NH	- 86.82	69.93	156.75	21.28	101.28	80.01	- 68.13	75.32	143.46	26.00	106.84	76.66
20	N <sub>2</sub> H H + N <sub>2</sub>	- 97.56	0.00	97.56	- 138.02	0.00	138.02	- 109.6	0.00	109.60	- 119.05	0.00	119.05
21	NH + N H + N <sub>2</sub>	- 10.75	107.97	118.71	- 159.30	10.99	170.29	- 41.51	88.62	130.12	- 145.00	17.18	162.18
22	H + H H <sub>2</sub>	53.50	91.54	38.04	45.98	86.74	40.76	61.03	96.35	35.32	8.11	62.57	54.47
23	N + N N <sub>2</sub>	130.67	210.59	79.92	- 36.03	103.20	139.24	101.82	191.99	90.16	- 43.39	98.48	141.87

## 2.2 NH<sub>2</sub>转化

所形成的 NH<sub>2</sub>可以进一步转化的途径应为 NH<sub>2</sub> — NH + H; NH<sub>2</sub> + NH<sub>2</sub> — NH + NH<sub>3</sub>; NH<sub>2</sub> + NH<sub>2</sub> — N<sub>2</sub>H<sub>3</sub> + H; NH<sub>2</sub> + NH<sub>2</sub> — N<sub>2</sub>H<sub>4</sub>. 即表 2中的反应 3~5和 2的逆反应 2(-). N<sub>2</sub>H<sub>x</sub> (x = 3, 4)形成活化能比较高, 为 70~210 kJ/mol, 而 NH形成活化能相对较低, 为 40~95 kJ/mol. Pt, Cu上 NH<sub>2</sub>主要发生自歧化生成 NH + NH<sub>3</sub>, 而 Fe, Ru上 NH<sub>2</sub>则可以发生解离或自歧化生成 NH或 NH + NH<sub>3</sub>.

Meyer等<sup>[8]</sup>在肼热分解动力学研究中指出其分解主要按 N<sub>2</sub>H<sub>4</sub> — NH + NH<sub>3</sub>进行, 这与我们计算得出的 NH<sub>2</sub> + NH<sub>2</sub> — NH + NH<sub>3</sub>反应途径是一致的. Wagner等<sup>[9]</sup>和 Grunze<sup>[10]</sup>也证实中间体 NH<sub>2</sub> 和



**Fig 1** Potential energy surfaces of  $\text{N}_2\text{H}_4$  decomposition on Fe(100) (A), Cu(111) (B), Pt(111) (C) and Ru(111) (D) surfaces

NH的存在.

### 2.3 NH和 NH<sub>3</sub>的转化

NH和 NH<sub>3</sub>可解离为 N + H, NH<sub>2</sub> + H, 或反应转化为 NH<sub>2</sub> + NH<sub>2</sub>, N<sub>2</sub>H<sub>3</sub> + H, 分别对应反应 6, 7, 4(-)和 8. 其中反应 6, 即 NH—N + H在 Fe, Ru, Pt和 Cu上的解离活化能为 18~28 kJ/mol, 而反应 8中 N<sub>2</sub>H<sub>3</sub>的形成活化能为 134~203 kJ/mol, 相对较高. 比较反应 7和 4(-), 由 NH + NH<sub>3</sub>返回到 NH<sub>2</sub>的活化能较 NH<sub>3</sub>解离为 NH<sub>2</sub>的活化能要略低. NH<sub>3</sub>在 Fe和 Ru上转化的活化能约为 70 kJ/mol, 在 Pt和 Cu上转化的活化能约为 90 kJ/mol, 而 NH<sub>3</sub>在 Fe和 Ru上的脱附热为 75~80 kJ/mol, 在 Pt和 Cu上的脱附热为 58.19, 67.88 kJ/mol, 表明 NH<sub>3</sub>在 Pt, Cu上比在 Fe和 Ru上更易于脱附.

因此, NH在 Fe, Ru, Pt和 Cu上趋向解离; NH<sub>3</sub>在 Fe, Ru上转化为 NH<sub>2</sub>的可能性大于其在表面上的脱附, 而在 Pt和 Cu上的情况则相反.

### 2.4 N和 H与 NH<sub>3</sub>和 NH<sub>2</sub>反应及其后续转化

表 2中的反应 8~11, N 与 NH<sub>3</sub> 的反应活化能 (>150 kJ/mol)比 NH<sub>3</sub> 转化为 NH<sub>2</sub> [反应 7和 4(-), Pt, Cu上 ~55 kJ/mol, Fe, Ru上 ~65 kJ/mol]的活化能高. 但 H与 NH<sub>3</sub> 在 Fe, Ru上的反应 (反应 11)生成 H<sub>2</sub>的活化能分别为 62.74, 73.57 kJ/mol, 与 NH<sub>3</sub>解离为 NH<sub>2</sub>的能垒相当, 但该反应在 Pt, Cu上竞争力较弱. 表明 H<sub>2</sub>在条件适合下在 Fe和 Ru上比在 Pt和 Cu上更有可能脱附.

同上述与 NH<sub>3</sub>在 Fe, Ru上的反应类似, N, H与 NH<sub>2</sub> 的反应, 如表 2中反应 12~15所示, 其中 H + NH<sub>2</sub>反应生成 NH + H<sub>2</sub>相对有利, 在 Fe, Ru, Pt和 Cu上反应的活化能大致为 85~100 kJ/mol, 但在 Pt, Cu上另一竞争途径 N + NH<sub>2</sub>—N<sub>2</sub>H + H(反应 13)的活化能分别为 78.71, 86.32 kJ/mol, 反应焓较 NH<sub>2</sub>直接或 H助解离的活化能小 15~20 kJ/mol以上 (比较反应 13与 3和 15), 即在 Pt, Cu上 N<sub>2</sub>H物种有可能形成.

在 Pt, Cu上形成的 N<sub>2</sub>H易于直接分解为 N<sub>2</sub> + H, 或在 H助下生成 N<sub>2</sub> + H<sub>2</sub> (参见表 2中反应 16~20). 不过, NH + N也可导致 N<sub>2</sub> + H的形成 (见表 2中反应 21), 其在 Fe, Ru, Pt和 Cu上反应的活化能分别为 107.97, 88.62, 10.99, 17.18 kJ/mol

据反应 20~23, H和 H结合为 H<sub>2</sub>及 N和 N结合为 N<sub>2</sub>的活化能在 Fe, Ru, Pt和 Cu上分别为 91.54, 96.35, 86.74, 62.57 kJ/mol和 210.59, 191.99, 103.20, 98.48 kJ/mol, 即在 Fe, Ru上的活化能较大, 表明在 Fe和 Ru上 H<sub>2</sub>和 N<sub>2</sub>脱附来自于 H, H和 N, N直接结合的可能性相对较小, 特别是 NH + N—N<sub>2</sub> + H反应在 Fe, Ru, Pt和 Cu上的活化能分别为 107.97, 88.62, 10.99, 17.18 kJ/mol, 远小于 N和 N结合的活化能.

因此, N<sub>2</sub>的产生路径, 在 Fe, Ru上可能为 NH + N—N<sub>2</sub> + H, 在 Pt, Cu上为 N<sub>2</sub>H—N<sub>2</sub> + H, N<sub>2</sub>H + H—N<sub>2</sub> + H<sub>2</sub>, NH + N—N<sub>2</sub> + H; H<sub>2</sub>的生成路径, 在 Fe, Ru上可能为 H + NH<sub>3</sub>—H<sub>2</sub> + NH<sub>2</sub>, H + NH<sub>2</sub>—H<sub>2</sub> + NH, H + H—H<sub>2</sub>, 在 Pt, Cu上则为 H + H—H<sub>2</sub>, N<sub>2</sub>H + H—N<sub>2</sub> + H<sub>2</sub>. 这与 Alberas等<sup>[4]</sup>报道的 N<sub>2</sub>形成并非来自 N, N结合及 Pt上存在 N<sub>2</sub>H物种的事实相一致.

此外, Maurel等<sup>[11]</sup>报道在 Rh, Pt, Pd上于 333~433 K的分解产物为 H<sub>2</sub>, N<sub>2</sub>和 NH<sub>3</sub>, 在 Cu上的分解产物则为 N<sub>2</sub>和 NH<sub>3</sub>, 且在 Pt上的反应活化能为 66.67 kJ/mol, 也与上述分析相同.

## 3 结 论

综上所论, N<sub>2</sub>H<sub>4</sub>分解和转化途径可总结为表 2, 其最优能量学则如图 1所示. N<sub>2</sub>H<sub>4</sub>在金属上优先发生 N—N键裂, 金属活性顺序为 Ru ~ Fe > Pt > Cu 形成的 NH<sub>2</sub>易歧化为 NH + NH<sub>3</sub>.

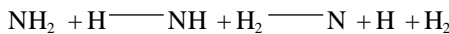
Fe, Ru上, 因 NH<sub>3</sub>脱附热大于其解离活化能, 故 NH<sub>3</sub>在 Fe, Ru上会进一步转化直至 NH和 N的形成, 结果 N<sub>2</sub>的形成可归为源于 NH, N作用. H<sub>2</sub>形成源于 NH<sub>3</sub>, NH<sub>2</sub>的 H助解离及 H和 H结合. 最终产物为 N<sub>2</sub>和 H<sub>2</sub>, 速控步骤为 NH + N—N<sub>2</sub> + H, 金属活性顺序为 Ru > Fe

Cu, Pt上, NH<sub>3</sub>脱附热小于其解离活化能, 即 NH<sub>3</sub>脱附可发生在其解离之前, N<sub>2</sub>形成可归于 N<sub>2</sub>H—N<sub>2</sub> + H和 H + N<sub>2</sub>H—N<sub>2</sub> + H<sub>2</sub>, H<sub>2</sub>的形成则来自于反应 H + N<sub>2</sub>H—N<sub>2</sub> + H<sub>2</sub>和 H, H结合. 最终产物为 NH<sub>3</sub>, N<sub>2</sub>和 H<sub>2</sub>, 速控步骤为 NH<sub>3</sub>—NH<sub>2</sub> + H, 金属活性顺序为 Pt > Cu

在 Fe, Ru, Pt, Cu 上存在如下反应：



在 Pt, Cu 上存在如下反应：



产物为 NH<sub>3</sub>、少量 N<sub>2</sub>, H<sub>2</sub> 脱附，中间体物种含 N<sub>2</sub>H。

在 Fe, Ru 上存在如下反应：



产物为 H<sub>2</sub>, N<sub>2</sub> 脱附，没有中间物种 N<sub>2</sub>H<sub>x</sub> 形成。

## 参 考 文 献

- [1] Bamey B. M., Yang T. C., Igarashi R. Y., et al. J. Am. Chem. Soc. [J], 2005, **127**(43): 14960—14961
- [2] Mebel A. M., Hwang D. Y. J. Phys. Chem. A [J], 2003, **107**(25): 5092—5100
- [3] Maurel R., Menezo J. C. J. Catal. [J], 1978, **51**(2): 293—295
- [4] Alberas D. J., Kiss J., White J. M. Surf. Sci. [J], 1992, **278**(1/2): 51—61
- [5] Shustorovich E. Surf. Sci. Rep. [J], 1998, **31**(1—3): 1—119
- [6] Curtiss L. A., Raghavachari K., Trucks G. W., et al. J. Chem. Phys. [J], 1991, **94**(11): 7221—7230
- [7] LUO Yu-Ran(罗渝然). Handbook of Bond Energies(化学键能数据手册) [M], Beijing: Science Press, 2005: 225—245
- [8] Meyer E., Wagner H. G. Z. Phys. Chem. [J], 1974, **89**(5/6): 329—331
- [9] Wagner M. L., Schmidt L. D. Surf. Sci. [J], 1991, **257**(1—3): 113—128
- [10] Grunze M. Surf. Sci. [J], 1979, **81**(2): 603—625
- [11] Maurel R., Menezo J. C., Barrault J. J. Chin. Phys. [J], 1973, **70**(9): 1221—1226

## Theoretical Study of Hydrazine Decomposition Mechanism on Metal Surfaces

ZHANG Jun, XIE LI, XIA Wen-Sheng\*, WAN Hui-Lin\*

(State Key Laboratory for Physical Chemistry of Solid Surface, Department of Chemistry,  
College of Chemistry and Chemical Engineering, Xiamen University, Xiamen 361005, China)

**Abstract** The mechanism of N<sub>2</sub>H<sub>4</sub> decomposition on Fe, Ru, Pt and Cu surfaces was analyzed by UB IQEP (Unity Bond Index-Quadratic Exponential Potential) method. The results show that N—N bond cleavage in N<sub>2</sub>H<sub>4</sub> is dominant decomposition route with the order of metal activity: Ru ~ Fe > Pt > Cu, but the product selectivity is significantly varied with metal surfaces. The main products on Fe and Ru are predicted to be H<sub>2</sub> and N<sub>2</sub> which is little formed via species N<sub>2</sub>H<sub>x</sub>, and the activity on Ru is higher than that on Fe, in contrast, on Pt and Cu the products are NH<sub>3</sub>, N<sub>2</sub> and H<sub>2</sub>, and the formed species N<sub>2</sub>H during decomposition could be transformed into N<sub>2</sub> and H<sub>2</sub>, and the activity on Pt is more than that on Cu.

**Keywords** Unity bond index-quadratic exponential potential(UB IQEP); N<sub>2</sub>H<sub>4</sub> decomposition; Mechanism; Metal surface

(Ed : V, I)